

ТЕЧЕНИЕ ПЛЕНКИ ЖИДКОСТИ
ПО ВНУТРЕННЕЙ ПОВЕРХНОСТИ ВРАЩАЮЩЕГОСЯ ЦИЛИНДРА

Ю. В. Мартынов

(Москва)

1. Безразмерные уравнения движения, уравнение неразрывности и граничные условия в системе координат $y, z, \varphi(z = z^0)$ — осевая координата, $\varphi = \varphi^0, y = R - r^0$, начало координат находится на стыке полубесконечных труб, z^0, r^0, φ^0 — цилиндрическая система координат), вращающейся вокруг оси симметрии цилиндра с угловой скоростью вращения верхней полубесконечной трубы, имеют вид [1, 2]

$$(1.1) \quad \begin{aligned} & \varepsilon \left(v_y \frac{\partial v_y}{\partial y} + v_z \frac{\partial v_y}{\partial z} + \frac{v_y^2}{\eta + y} \right) + 2v_\theta = - \frac{\partial p}{\partial y} + \\ & + E \left[\frac{\partial^2 v_y}{\partial y^2} + \frac{\partial^2 v_y}{\partial z^2} - \frac{1}{\eta + y} \frac{\partial v_y}{\partial y} - \frac{v_y}{(\eta + y)^2} \right], \\ & \varepsilon \left(v_y \frac{\partial v_\varphi}{\partial y} + v_z \frac{\partial v_\varphi}{\partial z} + \frac{v_y v_\varphi}{\eta + y} \right) + 2v_y = E \left[\frac{\partial^2 v_\varphi}{\partial y^2} + \frac{\partial^2 v_\varphi}{\partial z^2} - \frac{1}{\eta + y} \frac{\partial v_\varphi}{\partial y} - \frac{v_\varphi}{(\eta + y)^2} \right], \\ & \varepsilon \left(v_y \frac{\partial v_z}{\partial y} + v_z \frac{\partial v_z}{\partial z} \right) = - \frac{\partial p}{\partial z} + E \left(\frac{\partial^2 v_z}{\partial z^2} + \frac{\partial^2 v_z}{\partial y^2} - \frac{1}{\eta + y} \frac{\partial v_z}{\partial y} \right) + \frac{1}{Fr}, \\ & \frac{\partial v_z}{\partial z} + \frac{\partial v_y}{\partial y} + \frac{v_y}{\eta + y} = 0, \quad v_y = - v_r; \end{aligned}$$

$$(1.2) \quad \begin{aligned} & y = 0, \quad z < 0, \quad v_y = v_z = v_\theta = 0, \\ & z > 0, \quad v_y = v_z = 0, \quad v_\theta = \omega \eta; \end{aligned}$$

$$(1.3) \quad y = h(z), \quad \left(\frac{\partial v_z}{\partial y} + \frac{\partial v_y}{\partial z} \right) (1 + h_z^2) + 4h_z \frac{\partial v_y}{\partial y} = 0,$$

$$\begin{aligned} & 2E \frac{\partial v_y}{\partial y} (1 - h_z^2) - Eh_z \left(\frac{\partial v_z}{\partial y} + \frac{\partial v_y}{\partial z} \right) - \frac{\alpha}{(\eta + y)^2} [h^2 + (\eta + y)^2 h_{zz}] (1 + h_z^2) = \\ & = p (1 + h_z^2), \quad v_y = h_z v_z, \quad \partial v_\theta / \partial y + v_\theta / (\eta + y) = 0. \end{aligned}$$

Границные условия при $z \rightarrow \pm\infty$ будут выписаны ниже. Задача (1.1) — (1.3) приведена к безразмерному виду с помощью замены переменных r, v, Ω, p их нормированными значениями $rh', vU', \Omega'k, \rho'\Omega'_1 U' h' p$. Размерные величины приведены со штрихами

$$(1.4) \quad \begin{aligned} & h' = (3Q'v'/g')^{1/3}, \quad Q' = Q_0'/2\pi R', \quad \eta = R'/h', \\ & U' = Q'/h' = Q' (3Q'v'/g')^{-1/3}, \quad v_\lambda = v_\lambda'/U' \quad (\lambda = y, z, \theta), \\ & p = (p' - p_0')/(\rho'\Omega'_1 U' h'), \quad h = h'(z)/h', \\ & \omega = \omega/\Omega'_1, \quad \Omega_2 = 1 + \omega, \end{aligned}$$

где $E = v'/\Omega'_1 h'^2$ — число Экмана; $\varepsilon = U'/\Omega'_1 h'$ — число Россби; $Fr = \Omega'_1 U'/g'$ — число Фруда; $\alpha = \sigma' / (\rho' U' \Omega'_1 h')$; σ' — коэффициент поверхностного натяжения; v_θ, v_z, v_y — компоненты скорости вдоль осей θ, z, y соответственно; Ω'_1 — угловая скорость верхней полубесконечной трубы; ω — разница между угловыми скоростями верхней трубы Ω'_1 и нижней трубы Ω'_2 ; p_0' — давление в газовой фазе; v' — кинематическая вязкость; g' — гравитационная постоянная; Q_0' — расход жидкости.

Границные условия (1.2) являются условиями прилипания на стенках верхней и нижней трубы. Границные условия (1.3) приравнивают к нулю касательные напряжения на поверхности пленки, а нормальное напря-

жение — к давлению в газовой фазе. Граничные условия (1.3) выписаны с учетом кривизны пленки жидкости.

Исследование проведем для случая, когда влиянием инерционных сил (кроме сил Кариолиса) можно пренебречь, т. е. для случая, когда выполняются следующие соотношения: $\varepsilon/E \ll 1$, $\text{Fr}^{-1}/E \sim O(1)$, $E \sim O(1)$. Подставив в эти соотношения выражения (1.4), получим

$$(1.5) \quad \begin{aligned} \varepsilon/E &= Q'/v' \ll 1, \quad \text{Fr}^{-1}/E = 3 \sim O(1), \\ E &= v' (\Omega'_1)^{-1} (3Q'v'/g')^{-2/3} \sim O(1). \end{aligned}$$

Если выполняются условия (1.5), то все члены в уравнениях (1.1) (за исключением инерционных) одного порядка, при этом для выполнения последнего соотношения необходимо, чтобы $\Omega'_1 \sim v' (3Q'v'/g')^{-2/3}$; так как $Q'/v' \ll 1$, а $g' = 10^3 \text{ см}^2/\text{с}$, то $\Omega'_1 \gg 1$. Подробный анализ сил, обусловливающий движение жидкости во вращающихся каналах, приведен в [1].

Исследуем случай, когда разница между угловыми скоростями труб мала, т. е. $\omega \ll 1$. Связем малый параметр ε с ω зависимостью $\omega = \varepsilon \Omega_0$ ($\Omega_0 = \Omega'_0/\Omega'_1$), $\Omega_0 \sim O(1)$. Рассмотрим течение в трубе, радиус которой $\eta \sim O(\varepsilon^{-1/2})$. Для удобства оценки членов в уравнении (1.1) введем новый параметр $R = \varepsilon^{1/2}\eta$. В этом случае условие (1.2) примет вид

$$y = 0, \quad z > 0, \quad v_\theta = \varepsilon^{1/2} \Omega_0 R.$$

Для решения задачи (1.1)–(1.3) необходимо найти профили скоростей и распределение давления при $z \rightarrow \pm\infty$. Для этого рассмотрим отдельно течение в области I, находящейся на бесконечности ($z \rightarrow -\infty$) вверх по потоку и в области II, находящейся на бесконечности ($z \rightarrow +\infty$) вниз по потоку.

2. В областях I и II течение не зависит от z (производные по z равны нулю, радиальное течение отсутствует, толщина пленки постоянная). Кроме того, так как в областях I и II в осевой плоскости действуют одни и те же по величине силы, то профили осевой компоненты скорости и толщины пленок жидкости будут одинаковые. Задача (1.1)–(1.3) в областях I и II сводится к виду

$$(2.1) \quad \begin{aligned} 2v_\theta &= -\frac{\partial p}{\partial y}, \quad \frac{\partial v_z}{\partial z} = 0, \quad \frac{\partial^2 v_\theta}{\partial y^2} - \frac{\varepsilon^{1/2}}{R} \frac{\partial v_\theta}{\partial y} - \frac{v_\theta \varepsilon}{R^2} = 0, \\ &- \frac{\partial p}{\partial z} + E \left(\frac{\partial^2 v_z}{\partial y^2} - \frac{\varepsilon^{1/2}}{R} \frac{\partial v_z}{\partial y} \right) + \frac{1}{\text{Fr}} = 0; \end{aligned}$$

$$(2.2) \quad y = 0, \quad v_y = v_z = v_\theta = 0;$$

$$(2.3) \quad y = 0, \quad v_y = v_z = 0, \quad v_\theta = \varepsilon^{1/2} R \Omega_0;$$

$$(2.4) \quad y = 1, \quad \partial v_\theta / \partial y + v_\theta \varepsilon^{1/2} / R = 0, \quad \partial v_z / \partial y = 0, \quad \alpha \varepsilon / R^2 + p = 0.$$

Здесь условие (2.2) выписано для области I, а (2.3) — для области II. Решение задач (2.1), (2.2), (2.4) и (2.1), (2.3), (2.4) ищем в виде

$$(2.5) \quad \begin{aligned} v_\lambda &= v_\lambda^0 + \varepsilon^{1/2} v_\lambda^{(1)} + \varepsilon v_\lambda^{(2)} + \dots \quad (\lambda = z, \theta), \\ p &= p^0 + \varepsilon^{1/2} p^{(1)} + \varepsilon p^{(2)} + \dots \end{aligned}$$

Подставив (2.5) в (2.1)–(2.4), найдем решение задачи в областях I и II:

$$(2.6) \quad v_z = \frac{1}{E \text{Fr}} \left(-\frac{y^2}{2} + y \right) + \varepsilon^{1/2} \frac{1}{R E \text{Fr}} \left(-\frac{y^3}{6} + \frac{y^2}{2} - \frac{y}{2} \right);$$

$$(2.7) \quad p = 0, \quad v_\theta = 0, \quad h = 1;$$

$$(2.8) \quad \begin{aligned} p &= 2\varepsilon^{1/2}(y-1)\Omega_0 - 2\varepsilon[\Omega_0(y^2-1)/2 - \alpha/R^2], \\ v_\theta &= \varepsilon^{1/2} R \Omega_0 - \varepsilon y \Omega_0, \quad h = 1. \end{aligned}$$

Таким образом, решение задачи в области I имеет вид (2.6), (2.7), а в области II — (2.6), (2.8). Следовательно, решение задачи (1.1)–(1.3) для области стыка при $z \rightarrow -\infty$ должно стремиться к функциям (2.6), (2.7), а при $z \rightarrow \infty$ — к функциям (2.6), (2.8).

3. Рассмотрим решение в области стыка. Решение задачи (1.1)–(1.3), (2.6), (2.8) ищем в виде

$$(3.1) \quad v_\lambda = v_\lambda^{(0)} + \varepsilon^{1/2} v_\lambda^{(1)} + \varepsilon v_\lambda^{(2)} + \dots \quad (\lambda = y, z, \theta), \\ p = p^{(0)} + \varepsilon^{1/2} p^{(1)} + \varepsilon p^{(2)} + \dots, \quad h = 1 + \varepsilon^{1/2} h^{(1)} + \varepsilon h^{(2)} + \dots$$

Подставляя (3.1) в (1.1)–(1.3), (2.6), (2.8), получим

$$(3.2) \quad 2v_\theta^{(0)} = -\frac{\partial v_\theta^{(0)}}{\partial y} + E \left(\frac{\partial^2 v_y^{(0)}}{\partial y^2} + \frac{\partial^2 v_z^{(0)}}{\partial z^2} \right), \quad 2v_y = E \left(\frac{\partial^2 v_\theta^{(0)}}{\partial y^2} + \frac{\partial^2 v_\theta^{(0)}}{\partial z^2} \right), \\ 0 = -\frac{\partial p^{(0)}}{\partial z} + E \left(\frac{\partial^2 v_z^{(0)}}{\partial y^2} + \frac{\partial^2 v_z^{(0)}}{\partial z^2} \right) + \frac{1}{Fr}, \\ \frac{\partial v_z^{(0)}}{\partial z} + \frac{\partial v_y^{(0)}}{\partial y} = 0;$$

$$(3.3) \quad y = 0, \quad v_y^{(0)} = v_z^{(0)} = v_\theta^{(0)} = 0;$$

$$(3.4) \quad y = 1, \quad 2E \frac{\partial v_y}{\partial y} = p^{(0)}, \quad \frac{\partial v_y^{(0)}}{\partial z} + \frac{\partial v_z^{(0)}}{\partial y} = 0, \quad \frac{\partial v_\theta^{(0)}}{\partial y} = 0;$$

$$(3.5) \quad z \rightarrow \pm \infty, \quad v_y^{(\infty)} \rightarrow 0, \quad v_z^{(\infty)} \rightarrow \frac{1}{E Fr} \left(-\frac{y^2}{2} + y \right), \quad v_\theta^{(0)} \rightarrow 0.$$

Представив осевую скорость в виде $v_z = \frac{1}{E Fr} \left(-\frac{y^2}{2} + y \right) + V_*$, свердем уравнения и граничные условия задачи (3.2)–(3.5) к однородным уравнениям и однородным граничным условиям для функций $p^{(0)}$, V_* , $v_y^{(0)}$, $v_\theta^{(0)}$. Решения этих уравнений с найденными граничными условиями тождественно равны нулю. Таким образом, решение задачи (3.2)–(3.5) имеет вид

$$(3.6) \quad v_z^{(0)} = \frac{1}{E Fr} \left(-\frac{y^2}{2} + y \right), \quad v_y^{(0)} = v_\theta^{(0)} = p^{(0)} = 0.$$

Найдем теперь первое приближение. Так как ε входит неявно в аргумент функции нулевого приближения в граничных условиях при $y = 1$, то необходимо, согласно [3, 4], предварительно разложить функции нулевого приближения в ряд Тейлора вблизи $y = 1$. Тогда уравнения (1.1)–(1.3) преобразуются к виду

$$(3.7) \quad 2v_\theta^{(1)} = -\frac{\partial p^{(1)}}{\partial y} + E \left(\frac{\partial^2 v_y^{(1)}}{\partial y^2} + \frac{\partial^2 v_z^{(1)}}{\partial z^2} \right), \\ 2v_y^{(1)} = E \left(\frac{\partial^2 v_\theta^{(1)}}{\partial y^2} + \frac{\partial^2 v_\theta^{(1)}}{\partial z^2} \right), \\ 0 = -\frac{\partial p^{(1)}}{\partial z} + E \left(\frac{\partial^2 v_z^{(1)}}{\partial y^2} + \frac{\partial^2 v_z^{(1)}}{\partial z^2} \right) - \frac{1}{R Fr} (-y + 1), \\ \frac{\partial v_y^{(1)}}{\partial y} + \frac{\partial v_z^{(1)}}{\partial z} = 0;$$

$$(3.8) \quad y = 0, \quad z < 0, \quad v_y^{(1)} = v_z^{(1)} = v_\theta^{(1)} = 0, \\ z > 0, \quad v_y^{(1)} = v_z^{(1)} = 0, \quad v_\theta^{(1)} = \Omega_0 R;$$

$$(3.9) \quad y = 1, \quad 2E \left(\frac{\partial v_y^{(1)}}{\partial y} + h^{(1)} \frac{\partial^2 v_y^{(0)}}{\partial y^2} \right) + \alpha h_{zz}^{(1)} + h_z^{(1)} \left(\frac{\partial v_\theta^{(0)}}{\partial z} + \frac{\partial v_z^{(0)}}{\partial y} \right) E = \\ = p^{(1)} + h^{(1)} \frac{\partial p^{(0)}}{\partial y}, \quad \frac{\partial v_z^{(1)}}{\partial y} + \frac{\partial v_y^{(1)}}{\partial z} + h^{(1)} \left(\frac{\partial^2 v_z^{(0)}}{\partial y^2} + \frac{\partial^2 v_y^{(0)}}{\partial z \partial y} \right) + 4h_z^{(1)} \frac{\partial v_y^{(0)}}{\partial y} = 0;$$

$$(3.10) \quad z \rightarrow -\infty, \quad v_u^{(1)} \rightarrow 0, \quad v_\theta^{(1)} \rightarrow 0, \quad v_z^{(1)} \rightarrow \frac{1}{RE Fr} \left(-\frac{y^3}{6} + \frac{y^2}{2} - \frac{y}{2} \right);$$

$$(3.11) \quad z \rightarrow \infty, \quad v_y^{(1)} \rightarrow 0, \quad v_\theta^{(1)} \rightarrow \Omega_0 R, \quad v_z^{(1)} \rightarrow \frac{1}{RE Fr} \left(-\frac{y^3}{6} + \frac{y^2}{2} - \frac{y}{2} \right).$$

Границные условия (3.9) после подстановки в них выражения (3.6) примут вид

$$(3.12) \quad y = 1, \quad \frac{\partial v_\theta^{(1)}}{\partial y} = 0, \quad v_u^{(1)} = h_z^{(1)} \frac{i}{2E Fr},$$

$$2E \frac{\partial v_y^{(1)}}{\partial y} + \alpha h_{zz}^{(1)} = p^{(1)}, \quad \frac{\partial v_y^{(1)}}{\partial z} + \frac{\partial v_z^{(1)}}{\partial y} + h^{(1)} \left(-\frac{1}{E Fr} \right) = 0.$$

Сведем теперь систему уравнений (3.7) к одному уравнению в частных производных шестого порядка для радиальной компоненты скорости.

После преобразований получаем

$$(3.13) \quad 4 \frac{\partial^2 v_y^{(1)}}{\partial z^2} = E \left\{ \frac{\partial^2}{\partial z^2} \Delta \Delta v_y^{(1)} + \left(\frac{\partial^3}{\partial y^3} + \frac{\partial}{\partial y \partial z^2} \right) \Delta \frac{\partial v_y^{(1)}}{\partial y} \right\}, \quad \Delta = \frac{\partial^2}{\partial y^2} + \frac{\partial^2}{\partial z^2}.$$

Применив преобразование Фурье [5] к уравнению (3.13), получим

$$(3.14) \quad \frac{d^6 V_y}{dy^6} - 3\xi^2 \frac{d^4 V_y}{dy^4} + 3\xi^4 \frac{d^2 V_y}{dy^2} + (4E^{-1}\xi^2 - \xi^6) V_y = 0,$$

$$V_y = \int_{-\infty}^{\infty} v_y^{(1)}(z, y) \exp(iz\xi) dz;$$

$$(3.15) \quad V_y = C_1 e^{\alpha_1 y} + C_2 e^{\alpha_2 y} + C_3 e^{\alpha_3 y} + C_4 e^{\alpha_4 y} + C_5 e^{\alpha_5 y} + C_6 e^{\alpha_6 y},$$

$$\alpha_{1,2} = \pm [\xi^2 - (2E^{-1/2}\xi)^{2/3}]^{1/2},$$

$$\alpha_{3,4} = \{2\xi^2 + (2E^{-1/2}\xi)^{2/3} \pm \sqrt{8\xi^2(2E^{-1/2}\xi)^{2/3} - 3(2E^{-1/2}\xi)^{4/3}}\}/2,$$

$$\alpha_{5,6} = -\{2\xi^2 + (2E^{-1/2}\xi)^{2/3} \pm \sqrt{8\xi^2(2E^{-1/2}\xi)^{2/3} - 3(2E^{-1/2}\xi)^{4/3}}\}/2.$$

Константы C_i ($i = 1, 6$) найдем из граничных условий (3.8), (3.10)–(3.12). Представим осевую, азимутальную компоненты скорости и давления в виде

$$v_z^{(1)} = \frac{1}{E Fr R} \left(-\frac{y^3}{6} + \frac{y^2}{2} - \frac{y}{2} \right) + V_*, \quad v_\theta^{(1)} = v_\theta^* + \theta_0, \quad p^{(1)} = p_* + \vartheta_*,$$

где $\theta_0 = 0$, если $z < 0$; $\theta_0 = 2\Omega_0 R$, если $z > 0$; $\vartheta_0 = 0$, если $z < 0$; $\vartheta_* = R(y-1)\Omega_0$, если $z > 0$. Подставив их в граничные условия (3.8), (3.10), (3.12) и применив преобразование Фурье, получим

$$(3.16) \quad y = 0, \quad V_y = 0, \quad \frac{dV_y}{dy} = 0,$$

$$2V_\theta = -\frac{dp_*}{dy} + E \left(\frac{d^2 V_y}{dy^2} - \xi^2 V_y \right) = 0,$$

$$y = 1, \quad V_y = (-i\xi) H / (2E Fr), \quad 2EdV_y/dy - \alpha\xi^2 H = p_*,$$

$$\xi^2 V_y + d^2 V_y/dy^2 + i\xi H / (E Fr) = 0,$$

$$\frac{dV_\theta}{dy} = -\frac{d^2 p_*}{dy^2} + E \frac{d}{dy} \left(\frac{d}{dy} V_y - \xi^2 V_y \right) = 0,$$

$$H = \int_{-\infty}^{\infty} h^{(1)}(z) e^{iz\xi} dz, \quad p_* = \int_{-\infty}^{\infty} p_*(z) e^{iz\xi} dz.$$

Исключим из системы уравнений (3.16) p_* и H . Из второго уравнения системы (3.7) с учетом того, что $dp^{(1)}/dz = dp_*/dz + 2\delta(z)\Omega_0 R$ ($\delta(z)$ – дельта-функция), и третьего уравнения системы (3.16) следует

$$(3.17) \quad p_* = \frac{2\Omega_0 R}{i\xi} + \frac{E}{\xi^2} \left(\frac{d^3 V_y}{dy^3} - \xi^2 \frac{dV_y}{dy} \right), \quad H = 2E Fr V_y / (-i\xi).$$

Подставив выражения (3.17), (3.15) в систему уравнений (3.16), получим систему алгебраических уравнений, решение которой имеет вид

$$\begin{aligned}
 (3.18) \quad C_6 &= \frac{2\Omega_0 R}{Ei\xi} \left\{ \Phi \left[(W_3 A_4 + W_4) \frac{(A_5 - B_5)}{(B_4 - A_4)} + W_3 A_5 + W_5 \right] + \right. \\
 &\quad \left. + \frac{A_3 - B_3}{B_4 - A_4} (W_3 A_4 + W_4) + W_3 A_6 + W_5 \right\}^{-1}, \quad C_5 = \Phi C_6, \\
 C_4 &= (A_5 - B_5) C_5 / (B_4 - A_4) + (A_6 - B_6) C_6 / (B_4 - A_4), \\
 C_3 &= A_4 C_4 + A_5 C_5 + A_6 C_6, \\
 C_2 &= \{(\alpha_1 - \alpha_3) C_3 + (\alpha_1 - \alpha_4) C_4 + (\alpha_1 - \alpha_5) C_5 + \\
 &\quad + (\alpha_1 - \alpha_6) C_6\} (\alpha_2 - \alpha_1)^{-1}, \quad C_1 = -C_2 - C_3 - C_4 - C_5 - C_6, \\
 B_i &= -\{[(\xi^2 + \alpha_2 - 2) e^{\alpha_2} - (\xi^2 + \alpha_1 - 2) e^{\alpha_1}] (\alpha_1 - \alpha_i) (\alpha_2 - \alpha_1)^{-1} + \\
 &\quad + (\xi^2 + \alpha_i - 2) e^{\alpha_i} - (\xi^2 + \alpha_1 - 2) e^{\alpha_1}\} \{[(\xi^2 + \alpha_2 - 2) e^{\alpha_2} - \\
 &\quad - (\xi^2 + \alpha_1 - 2) e^{\alpha_1}] (\alpha_1 - \alpha_3) (\alpha_2 - \alpha_1)^{-1} + (\xi^2 + \alpha_3 - 2) e^{\alpha_3} - \\
 &\quad - (\xi^2 + \alpha_1 - 2) e^{\alpha_1}\}^{-1}, \\
 A_i &= [(\alpha_2^4 - \alpha_1^4) (\alpha_i - \alpha_1) (\alpha_2 - \alpha_1)^{-1} + \alpha_1^4 - \alpha_i^4] [\alpha_3^4 - \alpha_1^4 + \\
 &\quad + (\alpha_2^4 - \alpha_1^4) (\alpha_1 - \alpha_3) (\alpha_2 - \alpha_1)]^{-1}, \\
 D_i &= \{[(\alpha_2^5 - \xi^4 \alpha_2) e^{\alpha_2} - (\alpha_1^5 - \xi^4 \alpha_1) e^{\alpha_1}] (\alpha_1 - \alpha_i) (\alpha_2 - \alpha_1)^{-1} + \\
 &\quad + (\alpha_1^5 - \xi^4 \alpha_1) e^{\alpha_i} - (\alpha_1^5 - \xi^4 \alpha_1) e^{\alpha_1}\} \{(\alpha_3^5 - \xi^4 \alpha_3) e^{\alpha_3} - (\alpha_1^5 - \xi^4 \alpha_1) e^{\alpha_1}\} + \\
 &\quad + [(\alpha_2^5 - \xi^4 \alpha_2) e^{\alpha_2} - (\alpha_1^5 - \xi^4 \alpha_1) e^{\alpha_1}] (\alpha_1 - \alpha_3) (\alpha_2 - \alpha_1)^{-1}\}^{-1}, \quad i = 3, 4, 5, 6, \\
 W_i &= [(3\alpha_2 - \alpha_2/\xi^2 - 2i\alpha\xi Fr) e^{\alpha_2} - (3\alpha_1 - \alpha_1/\xi - 2\alpha_i\xi Fr) e^{\alpha_1}] \times \\
 &\quad \times (\alpha_1 - \alpha_i) (\alpha_2 - \alpha_1) + (3\alpha_i - \alpha_i/\xi - 2\alpha_i\xi Fr) e^{\alpha_i} - \\
 &\quad - (3\alpha_1 - \alpha_1/\xi^2 - 2\alpha_i\xi Fr) e^{\alpha_1}, \quad i = 3, 4, 5, 6, \\
 \Phi &= -\frac{(A_6 - D_6)/(D_4 - A_4) + (A_6 - B_6)/(B_4 - A_4)}{(A_5 - D_5)/(D_4 - A_4) - (A_5 - B_5)/(B_4 - A_4)}.
 \end{aligned}$$

Применяя обратное преобразование Фурье, найдем $v_{\lambda}^{(1)}$, $p^{(1)}$, $h^{(1)}(\lambda = y, z, \theta)$ с учетом того, что выражение \sqrt{s} следует принимать как однозначную функцию, совпадающую на верхнем берегу разреза вдоль вещественной положительной полуоси с арифметическим значением корня. Распределения функций $v_y^{(1)}$, $v_z^{(1)}$, $R^{(1)}$, $v_{\theta}^{(1)}$, определяющиеся обратным преобразованием Фурье

$$(3.19) \quad \theta(x, y) = \frac{1}{2\pi i} \int_{-i\infty}^{i\infty} e^{-sz} g(y, s) ds, \quad s = i\xi,$$

имеют разный вид в областях $z < 0$ и $z > 0$.

4. Из анализа поведения подынтегрального выражения (3.19) найдем, что при $z < 0$.

$$\begin{aligned}
 (4.1) \quad v_z(z, y) &= \frac{\varepsilon^{1/2}}{E Fr R} \left(-\frac{y^3}{6} + \frac{y^2}{2} - \frac{y}{2} \right) + \frac{1}{E Fr} \left(-\frac{y^2}{2} + y \right) + \\
 &\quad + \varepsilon^{1/2} \sum_{n=1}^N T_n e^{\lambda_n z} R_n(y), \\
 v_y(z, y) &= \varepsilon^{1/2} \sum_{n=1}^N e^{\lambda_n z} T_n R_n^0(y), \\
 v_{\theta}(z, y) &= \varepsilon^{1/2} \sum_{n=1}^N T_n \lambda_n e^{\lambda_n z} R_n^*(y) + \theta_0,
 \end{aligned}$$

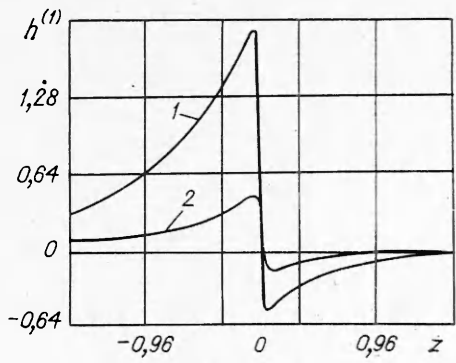
$$\begin{aligned}
h(z) &= 1 - \varepsilon^{1/2} \sum_{n=1}^N T_n e^{\lambda_n z} R_n(1), \\
R_n(y) &= \sum_{k=1}^6 C_k e^{\alpha_k(\lambda_n)y} \alpha_k(y) H_1(\lambda_n), \\
R_n^0(y) &= \sum_{k=1}^6 C_k e^{\alpha_k(\lambda_n)y} H_1(\lambda_n), \\
R_n^*(y) &= \sum_{k=1}^6 (\alpha_k^4(\lambda_n) + \lambda_n^4) C_k e^{\alpha_k(\lambda_n)y} H_1(\lambda_n), \\
T_n &= -\lambda_n^{-1} (\partial H / \partial x)_{x=\lambda_n}^{-1}, \\
H_1 &= (W_3^* A_4^* - W_4^* \Delta) [(A_5^* \delta - B_5^* \Delta) \Phi + (A_6^* \delta - B_6^* \Delta) \Phi_0], \\
A_i^* &= A_i \Delta, \quad B_i^* = B_i \delta, \quad D_i^* = D_i \theta, \\
\Phi^* &= (A_6^* \delta - B_6^* \Delta) (D_4^* \Delta - A_4^* \theta) - (A_6^* \theta - D_6^* \Delta) (B_4^* \Delta - A_4^* \delta), \quad W_i^* = W_i \tau, \\
\Phi_0 &= (A_5^* \theta - D_5^* \Delta) (B_4^* \Delta - A_4^* \delta) - (A_5^* \delta - B_5^* \Delta) (D_4^* \Delta - A_4^* \theta), \\
\Delta &= (\alpha_3 - \alpha_1)(\alpha_2 - \alpha_1) [(\alpha_3^2 + \alpha_1^2)(\alpha_3 + \alpha_1) - (\alpha_2^2 + \alpha_1^2)(\alpha_2 + \alpha_1)], \\
\tau &= x^2 (\alpha_2 - \alpha_1), \\
\theta &= [(\alpha_2^5 - x^4 \alpha_2) e^{\alpha_2} - (\alpha_1^5 - x^4 \alpha_1) e^{\alpha_1}] (\alpha_1 - \alpha_3) + [(\alpha_3^5 - x^4 \alpha_3) e^{\alpha_3} - \\
&\quad - (\alpha_1^5 - x^4 \alpha_1) e^{\alpha_1}] (\alpha_2 - \alpha_1), \\
\delta &= (x^2 - \alpha_4 + 2) e^{\alpha_4} (\alpha_1 - \alpha_2) + (x^2 + \alpha_2 - 2) e^{\alpha_2} (\alpha_4 - \alpha_1) - \\
&\quad - (x^2 - \alpha_1 - 2) e^{\alpha_1} (\alpha_4 - \alpha_2), \\
H_1(\lambda_n) &= (W_3^* A_4^* - W_4^* \Delta) [\Phi^* (A_5^* \delta - B_5^* \Delta) + (A_6^* \delta - B_6^* \Delta) \Phi_0] + (B_4^* \Delta - \\
&\quad - A_4^* \delta) [(W_3^* A_5^* - W_5^* \Delta) \Phi^* + \Phi_0 (W_3^* A_6^* - W_6^* \Delta)], \quad \alpha_{1,2} = \\
&= \pm [x^2 - (2xE^{-1/2})^{2/3}]^{1/2}, \\
\alpha_{3,4} &= \{2x^2 + (2xE^{-1/2})^{2/3} \pm [8x^2(2xE^{-1/2})^{2/3} - 3(2xE^{-1/2})^{4/3}]^{1/2}\}/2, \\
\alpha_{5,6} &= -\{2x^2 + (2xE^{-1/2})^{2/3} \pm [8x^2(2xE^{-1/2})^{2/3} - 3(2xE^{-1/2})^{4/3}]^{1/2}\}/2.
\end{aligned}$$

Здесь W_i , A_i , B_i , D_i ($i = 3, 4, 5, 6$) задаются формулами (3.18), а выражения $f(\lambda_n)$ означают, что вместо x в формулах нужно подставить значения корней λ_n уравнений $H(\lambda_n) = 0$, $n = 1, 2, 3, \dots$. Аналогично из (3.18), (3.19) следует, что при $z > 0$ функции v_z , v_y , v_θ , h определяются формулами (4.1), в которых функции α_i ($i = 1, \dots, 6$) заменены на функции

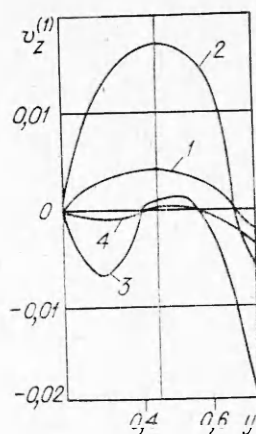
$$\begin{aligned}
(4.2) \quad \alpha_{1,2} &= \pm [-x^2 + (2xE^{-1/2})^{2/3}]^{1/2}, \\
\alpha_{3,4} &= [-2x^2 - (2xE^{-1/2})^{2/3} \pm \sqrt{8x^2(2xE^{-1/2})^{2/3} - 3(2xE^{-1/2})^{4/3}}]/2, \\
\alpha_{5,6} &= -[-2x^2 - (2xE^{-1/2})^{2/3} \pm \sqrt{8x^2(2xE^{-1/2})^{2/3} - 3(2xE^{-1/2})^{4/3}}]/2.
\end{aligned}$$

Соответственно изменяются функции H и корни λ_n . Соотношения (4.1), (4.2), (3.18) определяют аналитическое решение задачи о распределении поля скоростей и форме свободной поверхности пленки жидкости.

5. По формулам (4.1), (4.2), (3.18) было численно рассчитано течение пленки жидкости по внутренней поверхности врачающегося цилиндра для случая, когда $Gr = 0,6$, $\dot{E} = 0,3$, $R = 5$, $\alpha = 7,3$, а Ω_a принимает разные значения. Сначала были найдены корни λ_n функции H для области $z < 0$ и корни соответствующих функций для области $z > 0$. Корни были определены по итерационному методу Мюллера для решений алгебраических уравнений высоких степеней [6]. После нахождения корней были численно рассчитаны комплексные выражения (4.1), (4.2) и выделены действительные части.



Фиг. 1



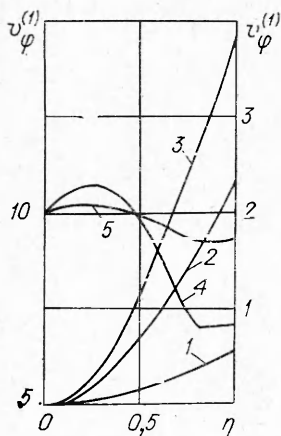
Фиг. 2

На фиг. 1 изображено изменение толщины пленки вдоль оси z для двух значений Ω_0 : кривая 1 соответствует $\Omega_0 = 2$, 2 — $\Omega_0 = 0,5$. Как видно из фиг. 1, толщина пленки резко возрастает в области $z < 0$, вблизи нуля, образуя горб, затем резко убывает, и в области $z > 0$ появляется небольшая впадина. Образование горба связано с тем фактом, что давление в жидкости различно при $z < 0$ и $z > 0$ согласно формулам (2.7), (2.8), т. е. в жидкости вблизи поверхности цилиндра в точке $z = 0$ наблюдается скачок давления, обусловленный разными скоростями вращения цилиндров. Если угловая скорость вращения нижнего цилиндра больше, чем верхнего ($\Omega_2 > \Omega_1$, $\Omega_0 > 0$), то давление при $z \rightarrow +0$ будет больше, чем при $z \rightarrow -0$, т. е. на линии стыка появится дополнительная сила, которая будет препятствовать движению жидкости, что приводит к образованию горба. Чем больше скачок угловой скорости, тем больше градиент давления, тем больше высота горба, что согласуется с расчетом, представленным на фиг. 1. В области $z > 0$ наблюдается небольшое ускорение течения жидкости, что приводит, как это следует из фиг. 1, к образованию небольшой впадины. Горб и впадина наблюдаются только на небольшом отрезке вдоль оси z порядка одной или двух толщин пленки по обе стороны от плоскости $z = 0$, а в других точках поверхность практически не возмущена, так как градиент давления отличен от нуля только вблизи $z = 0$. Толщины пленки вдали от плоскости $z = 0$ одинаковые, так как течение в этих областях определяется только силами гравитации и вязкости, а они одинаковые.

Распределение давления также имеет резкий пик в области $z = 0$ вблизи линии раздела труб. Следует отметить, что подобный вид изменения давления наблюдается и при других типах резкого изменения граничных условий, например при обтекании одиночного выступа [7].

На фиг. 2 представлено распределение вдоль оси y третьего слагаемого скорости в формуле (4.1) при $\Omega_0 = 2$, а $z = -1,62; -0,42; 0,42; 1,62$ (кривые 1—4 соответственно). Из фиг. 3 видно, что в области $z < 0$ ($\Omega_0 = 2$) от распределения осевой скорости, определяемой первыми двумя слагаемыми формулы (4.1), следует отнять значение поправки, задаваемой третьим слагаемым формулы (4.1). Отсюда следует, что осевые скорости, согласно фиг. 3, будут уменьшаться при приближении к $z \rightarrow -0$ в диапазоне по y от 0 до 0,9, а в области $0,9 \leq y \leq 1$ будут несколько больше, чем скорость в этом диапазоне на бесконечности. В целом течение замедляется, и образуется горб при $z < 0$, что согласуется с фиг. 1. При $z > 0$ значение поправки V_* к осевой скорости больше нуля при $0 \leq y \leq 0,4$, при $0,4 \leq y \leq 0,72$ учет поправки приводит к замедлению потока в этом диапазоне, и при $0,72 \leq y \leq 1$ поправка опять вносит положительный вклад. Как видно из фиг. 3, в целом учет третьего члена в формуле (4.1) приводит к ускорению потока, что согласуется с фиг. 1.

На фиг. 3 приведено распределение азимутальной составляющей скорости вдоль оси y при $\Omega_0 = 2$ и при $z = -1,62; -0,42; -0,02; 0,82; 1,62$



Фиг. 3

(кривые 1—5 соответственно). Из фиг. 3 видно, что с ростом z (в области $z < 0$) происходит непрерывное возрастание азимутальной скорости. Вязкие напряжения, возникающие вследствие разницы угловых скоростей полубесконечных труб, передаются вверх по потоку и приводят в азимутальное движение жидкость в области $z > 0$ вблизи линии стыка. Наличие неподвижной стенки в области $z < 0$ (стенка неподвижна во вращающейся системе координат) препятствует вращению жидкости. Поэтому азимутальная скорость убывает при приближении к стенке цилиндра. В области $z > 0$ скорость вращения жидкости должна совпадать со скоростью вращения полубесконечной трубы, поэтому с ростом z происходит выравнивание величины азимутальной компоненты скорости вдоль толщины слоя, что согласуется с фиг. 3.

Следует отметить, что эффект «запирания» потока (образование областей замкнутых циркуляций), частично обнаруженный в рассмотренном течении (образование горба на свободной поверхности), также наблюдается при течении жидкости в трубе, состоящей из двух плотно соприкосновенных труб, вращающихся с разными угловыми скоростями [8], а также в предельном случае, когда одна труба покоятся, а другая вращается [9]. Замкнутые циркуляционные зоны образуются также во вращающихся каналах переменного сечения [10].

Поступила 4 V 1983

ЛИТЕРАТУРА

- Гольдштадт М. А. Вихревые потоки. Новосибирск: Наука, 1981.
- Гриценко Х. Теория вращающейся жидкости. Л.: Гидрометеоиздат, 1978.
- Ван-Дайк М. Методы возмущений в механике жидкостей. М.: Мир, 1967.
- Коул Дж. Методы возмущений в прикладной математике. М.: Мир, 1972.
- Спелдон Х. Преобразование Фурье. М.: ИЛ, 1959.
- Ланс Дж. Н. Числовые методы для быстродействующих вычислительных машин. М.: ИЛ, 1962.
- Sykes R. I. On three-dimensional boundary layer flow over surface irregularities.— Proc. Roy. Soc. Ser. A, 1980, vol. 375, N 1754.
- Lavan Z., Nielsion H., Fijer A. A. Separation and flow in swirling flow in circular ducts.— Phys. Fluids, 1969, vol. 12, N 9.
- Бодунов Н. Ф. О некоторых закрученных течениях несжимаемой жидкости.— Изв. СО АН СССР. Сер. техн. наук, 1977, вып. 3.
- Симуни Л. М. Исследование движения вязкой жидкости между поверхностями вращения.— Изв. АН СССР. МЖГ, 1973, № 6.

УДК 532.526

РАСЧЕТ УСТОЙЧИВОСТИ ТЕЧЕНИЯ В КРУГЛОЙ ТРУБЕ СО ВДУВОМ

B. M. Ерошенко, L. I. Зайчик, B. B. Рабовский

(Москва)

В [1] проведено экспериментальное исследование перехода ламинарного режима течения в турбулентный для потока в круглой трубе, организованного за счет вдува через пористую боковую поверхность при заглушенном переднем торце трубы. В результате было установлено, что вдув приводит к повышению устойчивости ламинарного режима течения и увеличивает число Рейнольдса перехода до 10 000 вместо значения 2 300, характерного для течения в круглой трубе с непроницаемыми стенками. Аналогичный эффект был обнаружен в [2], где также получено, что число Рейнольдса потери устойчивости под действием вдува может принимать значения, существенно большие, чем в трубах с непроницаемыми стенками. В [3, 4] при относительно невы-